

## Part 6 Planetary Nebulae

ここでは、スペクトルに輝線を有する天体を考える。惑星状星雲、新星、Wolf-Rayet 星、P Cygni 型星、Be 型星、 $\gamma$  星等がある。これらの場合には、後に判る様に、常に高温星からの物質の流れが起る。それは非常に稀薄な envelope を形成する。この envelope 内で星からの紫外輻射が長い波長の輻射（特に可視輻射）へと转化した結果、輝線が生成すると考えられる。

envelope の可視輻射は、星の紫外輻射を消費して形成されるという事実は、envelope の状態の熱力学的平衡の新しい偏移によることを意味する。

この輝線を出す星の envelope は、熱力学的平衡の第一近似で成立つような普通の星の大気と全くに取扱える。上記の天体を研究する場合、種々の状態での原子数を求める為に Boltzmann や Saha の公式は使われる。波長別の輻射強度を求めるのに Planck の公式は使われる。これらの量は、現実の envelope 内で起る基本的な過程を考へ、個々の場合について決められる。吾々は普通、envelope の定常状態にある。即ち、状態間の原子の分布は、envelope 内の輻射場の方向によって変化しなると仮定する。ここで、勿論、種々の基本的過程、例えば、光電離、再結合、原子衝突など、確率を理論物理学を用いて計算せられる。

惑星状星雲の中は、物質と輻射と共に極端に稀薄である。その中で起る物理過程は比較的単純である。

Chapter 11

The mechanism of the radiation of the nebulae.

The temperature s of their nuclei.

§ 1. Observational data.

P.N. (planetary nebula) は、かなり規則的な球形の輝点として知られており、その中心に星雲の核 nucleus と呼ばれる星がある。望遠鏡では、星とよく似た円像に見える。(たが起り)、相当数のものは、核を取り巻く環状に見える。中には非常に複雑な構造 (例として文節 (二つの環)) を持つものがある。P.N. の視直径は、殆ど 1" 以下であり、多くの (非常に多く、非常に遠方の) P.N. は、望遠鏡では、全く円板像と見えず、僅かにスペクトルの線から P.N. の存在を確かめられる。したがって、いわば "恒星状星雲" の近年に於て 100 以上も発見され、現在までに知られている P.N. の総数は約 350 個に達する。

P.N. は非常に遠方にあり、三角法では信頼出来る視差を得ることがない。銀河回転の理論による視線速度から得られる P.N. の平均距離は、数千 parsec 程度であり、したがって、P.N. の平均直径は数万天文単位程度であり、したがって、その平均の絶対等級は約  $0^m$  である。

一般に、P.N. は、その中心星が若く明るい。その中心星の絶対等級は約  $+3^m$  である。核は、非常に高温の星である。そのスペクトルは O 型、B 型に属する。(未知)。また、これらの型は星 (平均の絶対等級は約  $-3^m$ ) の遠方にあり、その存在を注意して見なければならない。

P.N. のスペクトルは、種々の線から成る。第一に、水素の Balmer 系線が非常に強い。これは、陽子の自由電子捕獲による Balmer continuum の輝点による。多くの星雲のスペクトル中には、中性水素の線と一対に電離水素の線 (例として  $4686 \text{ \AA}$ ) が見られ、これは、星雲の中で電離と励起の非常に高いことを示している。

また、P.N. のスペクトル中には、最も明るい線は、主星雲線  $N_1, N_2$  と呼ばれる波長  $5007, 4959 \text{ \AA}$  の二重線である。また、一対の強い二重線  $3726, 3729 \text{ \AA}$  の紫外部に観測される。これは、二重線は、散光星雲の、新星のスペクトルにも見られる。これらの線は、新星の他の多くの線と比べて、最初、実験室で得られたことがあった。当時、地球上で知られていなかった未知元素 neonium に因りたことである。しかし、1928年に I. N. Bowen は、neonium 線の真の性質は、よく知られた元素の禁制線であることを示した。これらの星雲中に観測されるのは、地球上の実験室では、得ることが困難な物理条件を示している。

Bowenの解釈によれば、星雲スペクトル中の緑の二重線( $N_1, N_2$ 線)は、O IIIの紫外の二重線はO IIIの夫々の禁制遷移によつて起つたものである。他の星雲線も、全縁に、種々の電離状態にあるO, Nその他の元素の禁制線であることが判る。この同定が正しいことは、観測的の線の振動数と原子のエネルギー準位の配置から理論的に得られたものと正しく合致するからである。その他の事実も正確である。例として、 $N_1, N_2$ 線は共通の上位準位から起つたもので、その強度は、Bowenに依れば、常に3の倍の強さを持つべきである。実際の観測強度比も若干異なる。

P. N. のスペクトル線の形は興味がある。合光写真像のスクリーンを、星雲の直徑に沿って移せば、スペクトル線は両端部で狭く、中央部で広がる。或る場合には線は中央部で二成分に分割されている。これらのスペクトル線の形は、P. N. の膨張によつて説明出来る。分割したスペクトル線の成分は、星雲の各々に接している部分で、各成分は各々の速さの部分で形成される。両成分の最大分離(或は両成分の接する部分は線の最大幅)は、星雲の膨張速度の2倍に相当することは明らかである。多くの星雲について求めたこの膨張速度は、10~20 km/sec 程度である。P. N. の膨張しているという事実は、それか或る時期に核から放出されたものが、この位置に集まる。

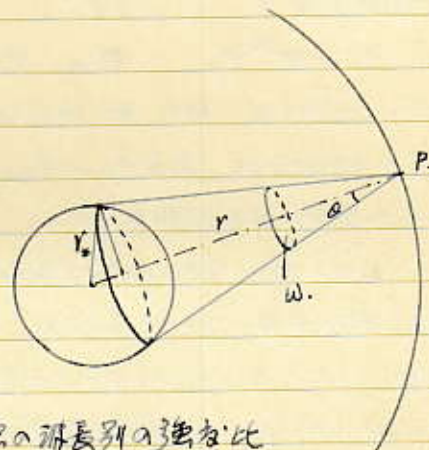
§ 2. The origin of the radiation of the nebulae.

星雲の輻射が中心星に起因のものであることは明らかである。星雲と星とのスペクトルが全然似てゐるので、これは、輻射の単純な反射ではない。又星雲内での共鳴散乱でもない。何故か、星雲には、離散スペクトル線に輻射のエネルギーが、核の連続スペクトルの対称部分のエネルギーより著しく過剰であるからである。従つて、星雲は、核から他のスペクトル領域に放射したエネルギーを吸収し、それをスペクトルの可視領域に轉化して輻射し出すと考へねばならない。核の温度は極めて高き(30,000°以上)。その紫外領域には非常に大い強度を持つものである。上を考へば、星雲が核の紫外輻射を吸収し、それを長波長領域に再放射することを示している。

この考へが全く正しいことを示す。

先づ核から星雲内の一単位 \$P\$ へ通過する輻射の性質を考へる。核は温度 \$T\_\*\$ の黒体輻射を以てする。温度 \$T\_\*\$ に於ける熱力学的平衡に於ける輻射密度は、Planck の公式

$$\frac{8\pi\nu^3}{c^3} u_\nu^* = \frac{8\pi h\nu^3}{c^3} \frac{1}{e^{h\nu/kT_*} - 1} \quad (1)$$



で決まる。envelope が核より大い時、光球からの輻射は稀釈される。Planck 曲線の波長別の強度比曲線は変らぬ。輻射密度は弱まる。その弱まる方を調べる。\$P\$ 点から見ると、中心星の張る立体角は

$$\omega = \int d\omega = 2\pi \int_0^\theta \sin \theta d\theta = 2\pi \left\{ 1 - \sqrt{1 - \left(\frac{r_*}{r}\right)^2} \right\} \quad (2)$$

空間輻射では、\$u\_\nu^\*\$ の輻射が \$4\pi\$ の方向から来るから、\$P\$ 点では、\$\omega\$ の方向から来るだけ平均密度は弱まる。\$[ u\_\nu = \frac{\omega}{4\pi} u\_\nu^\* = \frac{\omega}{4\pi} \frac{8\pi h\nu^3}{c^3} (e^{h\nu/kT\_\*} - 1)^{-1} ]\$

$$u_\nu = W u_\nu^* \quad (3)$$

の法則に従つて、中心星からの距離が増すにつれて減少する。即ち

$$W = \frac{\omega}{4\pi} = \frac{1}{2} \left\{ 1 - \sqrt{1 - \left(\frac{r_*}{r}\right)^2} \right\} \quad (4)$$

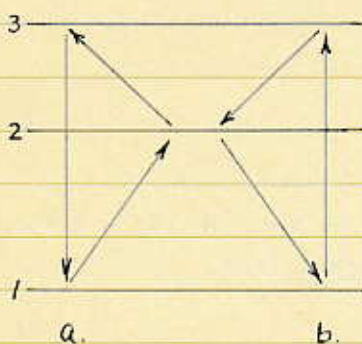
envelope の核の半径が非常に大ければ、 $r_*/r \ll 1$  なので (4) の代りに

$$W \sim \frac{1}{4} \left( \frac{r_*}{r} \right)^2 \quad (5)$$

となる。この  $W$  を希釈因子 dilution factor とする。P.N. では、 $r_*/r$  の比は、 $10^{-7}$  程度であるから、P.N. の輻射密度は、星の表面の輻射密度  $(\frac{1}{2} \sigma T_*^4)$  に比べて約  $10^{14}$  倍に希釈される。

星雲内で星の輻射密度がその場に著しく減少しているかわからず、そのスペクトル中の相対エネルギー分布の変化するほどのことは非常に重大である。このことを強調するために、星雲中の塵の放射密度に、対応する温度を計算してみよう。この温度を  $T_1$  と書けば、全輻射密度は、 $U = a T_1^4$ 。他方 (3) 式から、 $U = W a T_*^4$  が得られ、両式から、 $T_1 = W^{1/4} T_*$  従って、 $T_1 \sim 10^\circ$  となる。若し星雲中の輻射が平衡輻射のみであるならば、即ち、若し塵の放射全輻射密度に対して、スペクトル中のエネルギー分布が (3) 式で表わされ、温度  $T_1$  の Planck 分布で表わされるならば、その分布の最大値は、スペクトルの短波長側に移動することになる。

上述の核から星雲へ通過する輻射のスペクトル成分の不変性に対し、星雲中で起る輻射の転化過程を定量的に考察する。この場合、熱力学から、輻射と物質の相互作用に於て、更に適切な分布を形成するために、振動数に於けるエネルギーの再分布が起るべき知られている。その結果、星雲は、その中心星からの輻射を転化して、スペクトルの長波長部分を強め、短波長部分を弱めることになる。この過程は、Russelland の定理に於て特性判別する。今、3つの energy level 1, 2, 3 の何れかにある原子を



をとり、photon を吸収して  $1 \rightarrow 2 \rightarrow 1$  のような共振散乱とある可能な二つの単一遷移と、複雑な循環遷移がある。この中で最も重要なものは、

$$a: 1 \rightarrow 2 \rightarrow 3 \rightarrow 1,$$

$$b: 1 \rightarrow 3 \rightarrow 2 \rightarrow 1.$$

であり、二つの逆過程である。前者は、二つの低振動数量子  $h\nu_{12}$ ,  $h\nu_{23}$  を吸収し、一つの高振動数量子  $h\nu_{13}$  の放出となり、後者は、逆に、振動数  $\nu_{13}$  の

一つの吸収量子と、振動数  $\nu_{12}$ ,  $\nu_{23}$  の二つの量子に順次放出する。

Rosseland の定理は、輻射の稀釈が起る時、 $b$  循環遷移の方向  $a$  方向に属する、即ち、高振動数量子は低振動数量子に轉化の傾向が、その逆に強くなることを述べてゐる。

単位容積中、単位時間内に  $(1 \rightarrow 2)$  遷移の数は  $N_1 B_{12} U_{12}$  である。ここで  $N_i$  は単位容積中、 $(i)$  状態にある原子数、 $B_{12}$  は Einstein 係数、 $U_{12}$  は  $(1 \rightarrow 2)$  遷移に対する振動数の輻射密度である。この原子中、一部は自發的又は誘起遷移による  $(1)$  状態に戻り、一部は更に輻射を吸収して  $(3)$  状態へ上る。  $(2)$  状態からの遷移總数には  $(2 \rightarrow 3)$  遷移の数に比して

$$B_{23} U_{23} / (A_{21} + B_{21} U_{12} + B_{23} U_{23})$$

である。  $(3)$  状態からの遷移は、  $(1)$  へ  $(2)$  へ単位時間内に何れへも可能である。其中  $(3 \rightarrow 1)$  遷移の数に割合は

$$(A_{31} + B_{31} U_{13}) / (A_{31} + B_{31} U_{13} + A_{32} + B_{32} U_{23})$$

である。以上三つを組合せて、単位時間内に  $a$  ( $1 \rightarrow 2 \rightarrow 3 \rightarrow 1$ ) 循環と原子の数は

$$N_a = N_1 B_{12} U_{12} \cdot \frac{B_{23} U_{23}}{A_{21} + B_{21} U_{12} + B_{23} U_{23}} \cdot \frac{A_{31} + B_{31} U_{13}}{A_{31} + B_{31} U_{13} + A_{32} + B_{32} U_{23}} \quad (6)$$

同様の方で、単位時間内に  $b$  ( $1 \rightarrow 3 \rightarrow 2 \rightarrow 1$ ) 循環と原子の数は

$$N_b = N_1 B_{13} U_{13} \cdot \frac{A_{32} + B_{32} U_{23}}{A_{32} + B_{32} U_{23} + A_{31} + B_{31} U_{13}} \cdot \frac{A_{21} + B_{21} U_{12}}{A_{21} + B_{21} U_{12} + B_{23} U_{23}} \quad (7)$$

両方の循環過程の数の比を求めると

$$\frac{N_a}{N_b} = \frac{B_{12} U_{12} B_{23} U_{23} (A_{31} + B_{31} U_{13})}{B_{13} U_{13} (A_{32} + B_{32} U_{23}) (A_{21} + B_{21} U_{12})} \quad (8)$$

之を簡単にするために Einstein の関係

$$A_{ij} = B_{ji} \frac{g_j}{g_i} \sigma_{ji} \quad , \quad B_{ij} = \frac{g_i}{g_j} B_{ji} \quad (9)$$

$$\text{但し、} \quad \sigma_{ji} = 8\pi h \nu_{ji}^3 / c^3 \quad (10)$$

と導入す。  $g_i, g_j$  は夫々の統計的荷重である。次に

$$u_{ij} = \pi \sigma_{ij} \bar{u}_{ij} \quad (11)$$

$$\bar{u}_{ij} = \frac{1}{e^{h\nu_{ij}/kT} - 1} \quad (12)$$

と書くことも出来る。これを(8)式に代入

$$\frac{N_a}{N_h} = \frac{\overline{u_{12}} \overline{u_{23}} (1 + \overline{W} \overline{u_{12}})}{\overline{u_{13}} (1 + \overline{W} \overline{u_{12}}) (1 + \overline{W} \overline{u_{23}})} \quad (13)$$

と43.

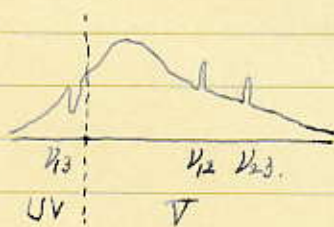
$\overline{W}$  が 1 の時、即ち光球内部ではこの比は当然 1 に等しい。  $\overline{W}$  が減少する時、この比も減少し、星雲内の  $\overline{W}$  が  $10^{-14}$  程度である。  $\overline{u_{12}} \overline{u_{23}} / \overline{u_{13}}$  の因子は 1 の程度の値であるから、この場合

$$\frac{N_a}{N_h} \approx \overline{W} \quad (14)$$

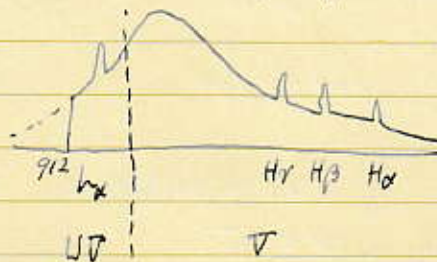
従って星雲内では、1 循環の数に比べて、2 循環の数を完全に無視出来る。<sup>\*</sup> 多数のエネルギー準位を持つ、従って更に複雑な循環遷移の起り得る原子に対して事情は全く同じである。<sup>\*\*</sup>

このように Rosseland の定理に従って、星雲の輻射は、中心星の紫外量子の低振動数量子(特に 200 mμ の可視域の量子)への轉化の結果として説明出来る。中心星は非常に高温で強い紫外輻射を放出しているため、之を可視輻射に轉化放出に輝いている星雲の中心星自身より明らかに可視光線を持つものとして管見に付する。

\*. 光球からの  $1/3$  輻射は  $e^-$  が吸収して、その energy は  $\nu_{12}, \nu_{23}$  輻射として轉化放出されるので、その energy curve は左の如くになる。實際に



計算に於いて、3-level の連続状態の場合、この放射は最も多い。水素では、Lyman continuum の energy が輻射して、Balmer line 等  $e^-$  の輝線が観測される(右図)。



\*\* 極大大気の一方に働く  $h$ -cycle を Rosseland cycle と呼ぶ。この過程は発光機構と蛍光機構 fluorescent mechanism と呼ぶ。

### § 3. The determination of the temperatures of the nuclei from hydrogen lines.

前節では3準位を持つ仮想の原子からなる星雲を考えた。さて、星雲は中心星の輻射にHの影響を受けるとして、星雲自身の稀薄な輻射を考慮しなかった。ここで、次に水素原子からなる実際の星雲の輻射を考えよう。

星雲内では輻射密度が非常に低く、原子は殆ど基底準位に居る。そのため星雲の質量が十分大ければ、星雲は Lyman 系列の輻射に対しては不透明になり、Balmer, Paschen 系列等に対しては完全に透明になる。その結果、星雲は、中心星からの輻射の中で Lyman 系列の振動数の輻射を吸収し、それより Balmer 系列の形や副線系列 sub-ordinate series の振動数の輻射を放射し、之は星雲内を妨げられることなく通過する。

これより、星雲には  $\sim$  Balmer 線に放出されるエネルギーが中心星の輻射の中で Lyman 線のエネルギーの5倍から得られるとすれば、中心星は  $100,000^\circ$  以上の高温星でなければならない。(現実には約  $30,000^\circ$ )。この星雲中には、非常に多くの水素原子があり、それらの中心星の輻射の中で Lyman 線は列に等しい Lyman 連続部の輻射を吸収するものと考えなくてはならない。この結果、水素原子は光電離し、再結合、降下遷移により  $\sim$  Balmer, Paschen 系列の系列線を放出する。

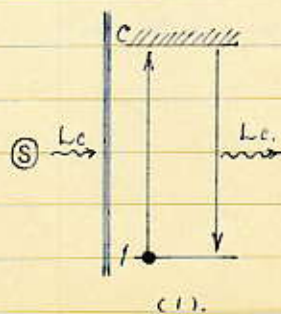
ここで、Lyman 連続部に対する星雲の光学的厚さの1/10以上は、或は何れにせよ、1に比べて充分大きくなる。この結果、Lyman 系列の最初の数本の線の吸収係数は、系列極限を越えて行くに従って吸収係数と之比は  $10^4 \sim 10^5$  程度である。之等の線に対する光学的厚さは  $10^6 \sim 10^5$  程度又はそれ以上で非常に大きくなる。

中心星から放出される  $h\nu$  量子が星雲で吸収されると、星雲中の水素原子は電離し、或は自由電子と陽子と再結合する。この時二つの可能性がある。

- (1): 電子が直接基底準位に落ちる。
- (2): 電子は励起準位の一つに落ちる。

(1)の場合には再び  $h\nu$  量子を放出し、全過程が再び繰返される。

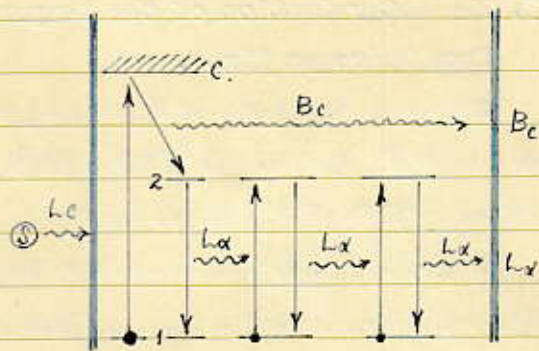
(2)の場合には電子は或る一度の降下遷移を行ない、最後には基底準位に到着する。星雲中には、物質密度も輻射密度も非常に小さい。この一度の遷移は中断しない。





(2.1): 電子が直接第2準位に捕獲される時

この際  $Bc$  量子が放出され、これは星雲が透明域の脱出時。電子は次に第2準位の基底準位に落ち、 $Lx$  量子を放出時。上に推定したように  $Lx$  に対する星雲の光学的厚は非常に大い。この  $Lx$  量子は



(2.1).

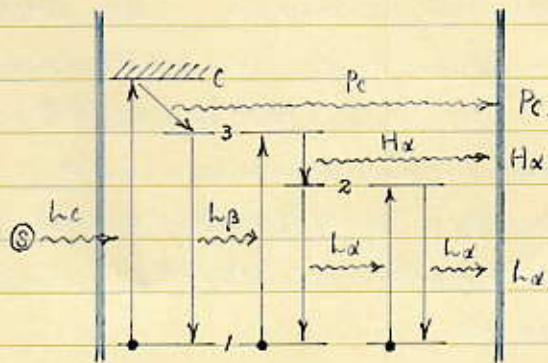
星雲内の短距離を通過した後、基底準位に別の原子に吸収され、原子は第2準位に移る。外部の妨げが乏しいので、原子は自動的に基底準位に戻り、 $Lx$  量子を放出時。この  $Lx$  量子は原子から原子へとバネ伝、散乱過程の功を受け、やがてこれは星雲の外境まで送られ脱出時。

(2.2): 電子が直接第3準位に捕獲される時

先ず  $Pc$  量子が放出され、これは星雲から脱出時。それ以後の過程に二つの可能性がある。

(2.2.1): 次いで  $Lp$  量子を放出して

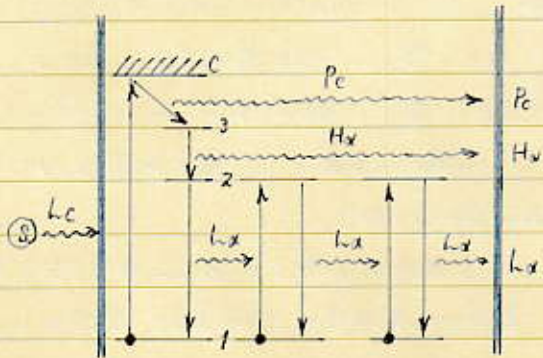
直接基底準位に落ちる。  $Lp$  量子に対して星雲は光学的に厚いので直ちに基底準位に別の原子に吸収せられ、原子は第3準位に上る。降下は早からず、次に(2.2.2)が実現時。



(2.2.1).

(2.2.2): 次いで逐次  $Hx$ ,  $Lx$  量子を放出して先ず第2準位から

第1準位へと降下時。  $Hx$  量子は妨げを受けず星雲から脱出時。  $Lx$  量子は(2.1)のように散乱を経て星雲を出る。



(2.2.2).

更に高準位への捕獲に $n \rightarrow n-1$ 類似の考察が出来る。行々の場合、一連の遷移の結果は  $h\nu$  量子の形成に終り、その直前には、Balmer 量子の放出と伴った第2準位への遷移がある筈である。このように、次の行き結論を得られる。(結論) 星雲に $n \rightarrow n-1$ 吸収が轉化した中心星の  $h\nu$  量子の各々から、必ず一つ一個の  $h\nu$  量子と、一個の Balmer 量子が形成される。

若し、星雲の中心星から放出される  $h\nu$  量子を全部轉化すると仮定すれば、(そのために、 $h\nu$  輻射に対する星雲の光学的厚さが、1 行に相当する。場合) その量子の数は、星雲が放出する Balmer 量子の数に等しくなればなる。一般に星雲が放出する Balmer 量子の数  $N_B$  は、中心星の放出する  $h\nu$  量子の数  $N_{h\nu}^*$  を超えない。即ち、

$$N_B \leq N_{h\nu}^* \quad (1)$$

この結果が得られる。

H. Zanstra は、この定理に基づいて、P.N. の中心星の色温度を決定している。 $N_B$  が  $N_{h\nu}^*$  に対する下限を與えるのである。若し、中心星の可視領域に放出する量子の数  $N_{vis}^*$  を  $N_B$  と比較すれば、それは、中心星の輻射について可視部の強度と紫外部強度の下限とを比較していることになる。この色温度の下限を計算することになる。

中心星の半径  $r_*$  を、温度  $T_*$  の Planck 輻射を以て対して、単位時間内に放出する  $h\nu$  量子の總数  $N_{h\nu}^*$  は、

$$N_{h\nu}^* = 4\pi r_*^2 \frac{2\pi}{c^2} \int_{\nu_0}^{\infty} \frac{\nu^2 d\nu}{e^{h\nu/kT_*} - 1} = 4\pi r_*^2 \cdot \pi \int_{\nu_0}^{\infty} \frac{13(\frac{0.01}{\nu}) d\nu}{\nu^5} \quad (2)$$

但し、 $\nu_0$  は Lyman 系列極限の振動数である。

$\lambda_0 = 912, \nu_0 =$

地方星雲全体から毎秒、第  $i$  番 Balmer 線に放出されるエネルギー總量を  $E_i$  と書ぶ。中心星から毎秒、スペクトル間隔  $\Delta\nu_i$  に、単位振動数あたり、放出されるエネルギー總量を  $(\partial E_*/\partial \nu)_i$  と書くことにする。  $\nu_i \Delta\nu_i = \nu^2 \Delta\nu$  の無次元比、

$$A_i = \frac{E_i}{\nu_i (\partial E_*/\partial \nu)_i} \quad (3)$$

は、直接観測から得られる。即ち、

$$\left(\frac{\partial E_*}{\partial \nu}\right)_i = 4\pi r_*^2 \frac{2\pi h \nu_i^3}{c^2} \frac{1}{e^{h\nu_i/kT_*} - 1} \quad (4)$$

この為、星雲に $n \rightarrow n-1$ 放出する Balmer 量子の總数は

$$N_B = \sum_i \frac{E_i}{h\nu_i} = \frac{1}{h} \sum_i A_i \left( \frac{\partial E_x}{\partial \nu} \right)_i = 4\pi Y_*^2 \frac{2\pi}{c^2} \sum_i \frac{\nu_i^3 A_i}{e^{h\nu_i/kT_*} - 1} \quad (5)$$

である。(2), (5)式に於て不等式(1)は

$$\sum_i \frac{\nu_i^3 A_i}{e^{h\nu_i/kT_*} - 1} \leq \int_{\nu_0}^{\infty} \frac{\nu^2 d\nu}{e^{h\nu/kT_*} - 1} \quad (6)$$

とす。

$$h\nu_0/kT_* \equiv x, \quad h\nu_i/kT_* \equiv x_0, \quad h\nu_i/kT_* \equiv x_i \quad (7)$$

と置けば(6)式は

$$\sum_i \frac{x_i^3 A_i}{e^{x_i} - 1} \leq \int_{x_0}^{\infty} \frac{x^2 dx}{e^x - 1} \quad (8)$$

となる。左辺の $\sum$ は、總ての Balmer 系列線  $n$  行で好む。Balmer 連続部に重なり  
れる。この不等式は数値的に解かる。種々の  $T_*$  をとり、 $x_0, x_i$  を計算せしむ  
と、或る  $T_*$  の値に対して等号が成立し、中心星の温度に對する下限が定まる。Zanstra  
の自分の測定値  $A_i$  を用いて得た結果は

Nebula NGC 1543	$T_* = 39,000^\circ$
NGC <del>1572</del> 1572	$T_* = 40,000^\circ$
NGC 7009	$T_* = 55,000^\circ$

この方法では、中心星のスペクトルの相対強度 = 部分と比較用の  $\nu$  の  $A_i$  測定  
の多少の誤差には鋭く影響を受けぬ。

星雲輻射の He 原子のスペクトル線(後述の如くは總ての線ではない)も、水素の場合  
と同様に中心星の紫外輻射に於て光電電離、再結合で生ずる。特に星雲はこの如く  
に He I, He II 線を輻射す。これらの線の強度から、水素の場合と同様に  
上の方法で中心星の温度を定むことが出来る。所が He 原子の線から得られた中心  
星の温度は  $\nu$  の如く相異なる。例として Zanstra に於ける

$$\text{NGC 7009} \quad \left\{ \begin{array}{l} T_* = 55,000^\circ \text{ (H I)} \\ T_* = 70,000^\circ \text{ (He II)} \end{array} \right.$$

多(く)の場合、 $\nu$  の相違は  $\nu$  の如く。この解釈は、幾つかの理由から考へられた。その重  
要性を示す。

(1) Zanstraの方法は中心星の實際の温度でなく、その下限を與ふに過ぎない。若し星雲の中心星からの輻射の中、問題の原子の主要線極限を越えた部分のエネルギーを僅かに吸収しなすれば、得られた温度の下限は、實際の温度よりかなり低くなるに違いない。殊にこの場合、水素線より得られた温度にこの理由が考えられる。何故か、星雲中で水素が強く電離の結果、中心星のK $\alpha$ 輻射の吸収が完全に行われぬことが知られるからである。

(2) 中心星の実際のエネルギー分布は Planck 法則より相當してはるかに知られる。この場合、この温度という概念は、具體的意義を有するものではない。

### § 4. The determination of the temperatures of the nuclei from "nebulium" lines.

主星雲線  $N_1, N_2$  と共に幾つかのスペクトル線は、前節に述べた光電電離、再結合の方法で決り得る。このことが容易に判る。

(1) 実際、星雲の  $N_1, N_2$  線輻射は中心星のエネルギー中、O III の主放射線極限連線部のエネルギーを消費に生ずるものと想像してみよう。この場合、中心星のこの連線部に放出の量子の数は、星雲の  $N_1, N_2$  線に放出の量子の数より多いはずである。(3.1 を参照)。折々 O III の主放射線極限連線部のスペクトル線の極限紫外部<sup>264</sup>にある。(O III の電離ポテンシャルは水素の約4倍)、従ってこの想像が正しいとすれば、中心星の温度は、場合によらず、100 万度以上という考えは不十分の高温と見なされる。

(2) O III と He II の電離ポテンシャルは殆ど同じ(夫々 ~~54.934~~ <sup>54.934</sup> ~~54.400~~ <sup>54.400</sup> eV) である。両者は、中心星の輻射の中、同じスペクトル領域を吸収する。従って、この吸収のみで星雲の  $N_1, N_2$  線と輻射の対比は、 $N_1, N_2$  線の強さは、He II 線の強さより強くなるはずである(行状は、He 原子は少くとも O 原子の多いから)。実際には、スペクトル中に  $N_1, N_2$  線が非常に強いと判る。He II 線の強さは星雲の多いと判る。

以上の事実は、星雲中には再結合以外に原子を励起する機構があるに違いない。星雲線の放出する単位は励起ポテンシャルは非常に大きい。例として、 $N_1, N_2$  線では僅か  $2.5 \text{ eV}$  である。従って、星雲中の多くの自由電子は衝突に依りこれらの単位を励起的に充分なエネルギーを持つのに違いない。この事を考えれば、I. B. Bowen は、星雲の自由電子の運動エネルギーを消費して星雲線と輻射に依りと考へた。自由電子の持つエネルギー、それは、中心星の紫外輻射から得られるに違いない。この輻射は、電離した電子を原子からもぎ取るに依り、それら原子の運動エネルギーを付与する。自由電子をイオンに捕獲<sup>捕獲</sup>前に、このエネルギーの一部は星雲線と励起に依りに使われる。

この概念に基づいて Zanstra は、中心星の温度を決定する一つの方法を考へた。自由電子は主に水素原子の電離した出来事と考へた。この電離の振動量子の量子の吸収に依り起るため、自由電子は、

$$\frac{1}{2} m v^2 = h\nu - h\nu_0 \tag{1}$$

の運動エネルギーを持つことになる。\$V\_0\$ は水素の電離振動数である。中心星の振動数領域 \$(V, V+dV)\$ に毎秒放出光子の総数は

$$4\pi V^2 \cdot \pi B(\nu_x) \cdot \frac{1}{h\nu} = 4\pi V^2 \frac{2\pi V^2}{c^2} \frac{dV}{e^{hV/kT_x - 1}} \quad (2)$$

である。従って、中心星の放出光子 \$h\nu\$ 量子の全部が吸収されるならば、毎秒、自由電子が得る運動エネルギーの総量は

$$4\pi V^2 \frac{2\pi h}{c^2} \int_{V_0}^{\infty} (V - V_0) V^2 \frac{dV}{e^{hV/kT_x - 1}} \quad (3)$$

である。他方、星雲が放射する電離線のエネルギーは

$$(3.5) \rightarrow 4\pi V^2 \frac{2\pi h}{c^2} \sum_{\text{nebularium}} \frac{A_i V_i^4}{e^{hV_i/kT_x - 1}} \quad (4)$$

である。ここで \$A\_i\$ は (3.3) 式の観測可能な量であり、\$\sum\$ は自由電子との衝突の結果、励起した星雲線全部について集める。

星雲線の励起に使われるエネルギーは、電子が得る運動エネルギーを越えることはない。

(3)、(4) の比較から

$$\sum_{\text{nebularium}} \frac{A_i V_i^4}{e^{hV_i/kT_x - 1}} \leq \int_{V_0}^{\infty} \frac{(V - V_0) V^2}{e^{hV/kT_x - 1}} dV \quad (5)$$

(3.7) の記号を用いて

$$\sum_{\text{nebularium}} \frac{x_i^4}{e^{x_i - 1}} A_i \leq \int_{x_0}^{\infty} \frac{(x - x_0) x^2}{e^x - 1} dx \quad (6)$$

この式の \$x\_i, x\_0\$ に含まれる未知数 \$T\_x\$ について数値的に解き、中心星の温度の或る下限を得る。その結果は

$$NGC 6543 \quad T_x = 37,000^\circ$$

$$6572 \quad T_x = 38,000^\circ$$

$$7009 \quad T_x = 50,000^\circ$$

で、これは、前節の水素線から得られた値とよく一致する。このように二つの方法から得られた結果が一致によく一致するのは、それら二つに下限の値を求めるとき、求めた温度は実際には、この事実によって知られる。